



تحلیل عددی تاثیر میدان الکتریکی بر انتقال جرم از یک جسم مرطوب

فرید دولتی^۱, نیما امانی‌فرد^{۲*}, حامد محمد دیلمی^۳, خشاپار یزدانی^۴

۱- دانشجوی دکتری، مهندسی مکانیک، دانشگاه گیلان، رشت

۲- دانشیار، مهندسی مکانیک، دانشگاه گیلان، رشت

۳- استادیار، مهندسی مکانیک، دانشگاه گیلان، رودسر

۴- دانشجوی کارشناسی ارشد، مهندسی مکانیک، دانشگاه گیلان، رشت

* رشت، صندوق پستی ۳۷۵۶ namanif@guilan.ac.ir

چکیده

در این مقاله، انتقال جرم در فرآیند خشک کردن یک جسم مرطوب تحت تاثیر میدان الکتریکی در یک کانال مسطح به صورت دو بعدی مورد مطالعه عددی قرار گرفته است. برای حل معادلات میدان های الکتریکی، جریان، دما و غلظت در فاز سیال و همچنین میدان های دما و رطوبت در جسم مرطوب از روش حجم محدود استفاده شده است. شبیه سازی های عددی با استفاده از یک شبکه سازمان یافته، غیریکنواخت و چهار وجهی، با مدل آشتفگی کی- اپسیلون استاندارد انجام شده است. دمای اولیه جسم مرطوب برابر با دمای هوای ورودی می باشد. در این مطالعه، ابتدا نتایج عددی با داده های تجربی مقایسه شده که از تطابق قابل قبولی برخوردارند. سپس تاثیر عدد رینولدز، ولتاژ اعمالی و مکان الکترود تزریق کننده بر نرخ خشک کردن جسم مرطوب ارزیابی شده است. نتایج نشان می دهد که بدون اعمال میدان الکتریکی، با افزایش عدد رینولدز نرخ خشک کردن جسم مرطوب افزایش می یابد. همچنین در حضور میدان الکتریکی با ثابت ماندن عدد رینولدز، با افزایش ولتاژ اعمالی تاثیر پدیده الکتروهیدرودینامیک بر نرخ خشک کردن افزایش می یابد. علاوه بر این نتایج حاکی از آن است که با تزدیک شدن الکترود تزریق کننده به سمت لبه حمله جسم مرطوب، تغییر رطوبت به بیشینه مقدار خود می رسد.

اطلاعات مقاله

مقاله پژوهشی کامل

دریافت: ۱۳ آبان ۱۳۹۵

پذیرش: ۲۰ دی ۱۳۹۵

ارائه در سایت: ۲۹ دی ۱۳۹۵

کلید واژگان:

الکتروهیدرودینامیک

انتقال جرم

بررسی عددی

جسم مرطوب

Numerical analysis of the electric field effect on mass transfer through a moist object

Farid Dolati¹, Nima Amanifard^{1*}, Hamed Mohaddes Deylami², Khashayar Yazdani¹

1- Department of Mechanical Engineering, Guilan University, Rasht, Iran

2- Faculty of Technology and Engineering, University of Guilan, Rudsar, Iran

* P.O.B. 3756, Rasht, Iran, namanif@guilan.ac.ir

ARTICLE INFORMATION

Original Research Paper

Received 03 November 2016

Accepted 09 January 2016

Available Online 18 January 2017

Keywords:

Electrohydrodynamic

Mass transfer

Numerical investigation

Moist object

ABSTRACT

In this paper, a two-dimensional numerical approach is used to study the mass transfer in drying process of a moist object affected by electric field in a smooth channel. Finite volume method is used to solve governing equations of electric, flow, temperature, and the concentration fields in flow phase, as well as the temperature and the moisture fields in the moist object. The computational methodology includes the use of a structured, non-uniform quadrilateral grid, and the Standard K-ε model was adopted as the turbulence model. The initial temperature of moist object is equal to the air temperature. In this study, firstly, the computed results are compared with the experimental data and the results are in good agreement very well. Secondly, the effect of Reynolds number, applied voltage and the position of the emitting electrode on the drying rate of moist object is evaluated. The numerical results show that the drying rate of moist object with increment Reynolds number enhances without the electric field. Also, in presence of electric field, in constant Reynolds the influence of EHD phenomenon on the drying rate increases with increment of applied voltage. In addition, the results show that as the electrode position is established toward the leading edge of moist object, the maximum moisture evaporation reaches.

فرآیند از اهمیت بالایی برخوردار می باشد. استفاده از جریان هوا با درجه حرارت بالا یکی از روش های رایج برای خشک کردن جسم مرطوب محاسبه می شود. اساساً این روش تبخیر آب و انتقال آن توسط هوا می باشد. در مواردی که مواد به حرارت حساسیت داشته باشند از هوا با درجه حرارت پایین استفاده می شود. عمدتاً خشک کردن در این روش با انتقال جرم صورت می گیرد و به دلیل طولانی بودن فرآیند خشک کردن، بازدهی پایینی دارد.

فرآیند از اهمیت بالایی برای خشک کردن مواد مهمنم در صنعت غذایی، دارویی و ساختمانی به شمار می رود [۱]. با انتقال همزمان حرارت و جرم، بررسی توزیع دما و رطوبت مواد طی فرآیند خشک کردن، می تواند در طراحی فرآیند خشک کردن و کاهش مصرف انرژی موثر باشد. روش های مختلفی برای خشک کردن مواد به کار گرفته می شوند که در استفاده از این روش ها، مدت زمان خشک کردن و ثبات خواص مواد در حین

۱- مقدمه

فرآیند خشک کردن مواد مرطوب از پدیده های مهم در صنعت غذایی، دارویی و ساختمانی به شمار می رود [۱]. با انتقال همزمان حرارت و جرم، بررسی توزیع دما و رطوبت مواد طی فرآیند خشک کردن، می تواند در طراحی فرآیند خشک کردن و کاهش مصرف انرژی موثر باشد. روش های مختلفی برای خشک کردن مواد به کار گرفته می شوند که در استفاده از این روش ها، مدت زمان خشک کردن و ثبات خواص مواد در حین

Please cite this article using:

F. Dolati, N. Amanifard, H. Mohaddes Deylami, Kh. Yazdani, Numerical analysis of the electric field effect on mass transfer through a moist object, *Modares Mechanical Engineering*, Vol. 17, No. 1, pp. 383-393, 2017 (in Persian)

برای ارجاع به این مقاله از عبارت ذیل استفاده نمایید:

دریافتند که استفاده از میدان الکتریکی قوی اثر نامطلوبی روی کیفیت محصولات تولید شده ندارد. کوا و همکاران^[9] در سال 2004 مطالعه‌ای روی خشک شدن برجسته تحت تاثیر میدان الکتریکی قوی به صورت تجربی انجام دادند. نتایج آن‌ها حاکی از آن است که نرخ متوسط خشک شدن برجسته در ماههای 25، 40 و 50 درجه سانتی‌گراد به ترتیب 2.83، 1.59 و 1.63 برابر افزایش می‌یابد. همچنین آن‌ها نشان دادند که با افزایش میدان الکتریکی، نرخ خشک شدن افزایش می‌یابد. مطالعه تجربی لی و همکاران^[10] در سال 2006 بر روی کیک اوکارا نشان داد که نرخ خشک شدن کیک در حضور میدان الکتریکی قوی تا 3.2 برابر افزایش یافته و میزان رطوبت براساس وزن، تا 40 درصد کاهش می‌یابد. همچنین در سطح کیک خشک شده با این روش هیچ‌گونه ترک و شکافی مشاهده نشده، در صورتی که در اثر خشک کردن با هوای داغ، شکاف و ترک در سطح کیک مشاهده شده است. لیو^[11] در سال 1991 حل تحلیلی برای سیستم معادلات انتقال حرارت و جرم با شرط مرزی و استهله زمان ارائه داده است. نتایج تحلیلی نشان دهنده آن است که با تغییر شرط مرزی، حل همگن ثابت می‌ماند، در صورتی که حل خصوصی تغییر می‌کند. همچنین ایشان نتایج حل عددی را برای تخته‌های چوبی ارائه دادند. نتایج حاکی از آن است که با گذشت زمان دمای حباب خشک افزایش و توانایی انتقال جرم تعادلی کاهش می‌یابد. مکتبه و سیباندا^[12] در سال 2008 انتقال حرارت و جرم جریان عبوری از یک سطح افقی متصل به یک جسم متخلخل را در حضور میدان مغناطیسی مورد مطالعه قرار دادند. آن‌ها تاثیر متغیرهای جریان مانند اعداد اکرت^۵، هارتمن^۶ و اشمتیت^۷ را بر میدان‌های سرعت، دما و غلظت مورد ارزیابی قرار دادند. همچنین نشان دادند روش حل ارائه شده می‌تواند جایگزین مناسبی برای حل‌های عددی موجود باشد. اسوارامورنی و کانداسامی^[13] در سال 2009 تاثیر چگالی بیشینه آب بر انتقال حرارت و جرم در یک محفظه متخلخل را به صورت عددی در شرایط مختلف بررسی کردند. نتایج آن‌ها حاکی از آن است که دمای چگالی بیشینه تاثیر چشمگیری بر انتقال حرارت و جرم دارد. همچنین نتایج آن‌ها نشان داد که نرخ انتقال حرارت با افزایش تخلخل ماده و اعداد اشمتیت و دارسی^۸، بهبود می‌یابد. امانی‌فرد و حقی^[14] در سال 2008 به صورت عددی خشک شدن جابه‌جایی اجباری یک جسم مرتبط را مورد مطالعه قرار دادند. آن‌ها با در نظر گرفتن یک آجر مرتبط روی یک صفحه مسطح در بازه عدد رینولدز 50 تا 1000 دریافتند که نرخ خشک کردن با ضریب ۱/۴ و ۱/۵ رابطه دارد. دینانی و هاوت^[15] در سال 2015 به صورت تجربی با استفاده از روش ترکیبی جابه‌جایی اجباری و میدان الکتریکی قوی روی خشک شدن تکه‌های قارچ را مطالعه نمودند. آن‌ها دریافتند که در سرعت‌های پایین، با افزایش ولتاژ نرخ خشک شدن افزایش می‌یابد. همچنین نشان دادند که در سرعت‌های بالا به دلیل تداخل جریان اصلی سیال با جریان کرونا نرخ خشک شدن کاهش می‌یابد. حیدری‌نژاد و بابایی^[16] به صورت عددی تاثیر میدان الکتریکی بر میدان جریان و افزایش نرخ تبخیر آب را مورد بررسی قرار دادند. نتایج تحقیق آن‌ها نشان می‌دهد که با افزایش ولتاژ اعمالی نرخ تبخیر افزایش می‌یابد، اما در یک ولتاژ ثابت با افزایش عدد رینولدز، نرخ تبخیر ابتدا روند صعودی داشته و پس از آن به دلیل کاهش اندازه گردابه‌ها روند نزولی دارد. اگر چه خشک کردن آجر تحت پارامترهای جریانی توسط امانی فرد و همکاران^[14] مورد مطالعه قرار گرفته اما تاثیر پدیده الکتروهیدرودینامیک

استفاده از پدیده الکتروهیدرودینامیک^۹ می‌باشد. در این پدیده به علت ایجاد جریان ثانویه‌ای به نام باد کرونا^{۱۰} می‌توان نرخ انتقال حرارت و جرم را افزایش داد. باد کرونا با برهم زدن الگوی جریان اصلی سیال و آشفته کردن آن موجب کاهش لایه مرزی هیدرودینامیکی و حرارتی می‌شود و در نتیجه نرخ انتقال حرارت و جرم افزایش می‌یابد. تخلیه کرونا براساس اعمال ولتاژ بالا میان دو الکترود با شعاع انحنای مختلف، برای مثال یک الکترود سیمی (تریکوننده^{۱۱}) و یک الکترود صفحه‌ای (جمع کننده^{۱۲}) بوجود می‌آید^[2]. در این پدیده میدان الکتریکی در اطراف الکترود تزریق کننده موجب یونیزاسیون هوا می‌شود. یون‌های همنام با الکترود تزریق کننده بر اثر نیروی الکتریکی به سمت الکترود جمع کننده حرکت می‌کنند و در مسیر حرکت خود با برخورد با ذرات خنثی هوا موجب انتقال مومنتم به این ذرات شده و در نتیجه باد کرونا تولید می‌شود.

آیوتا و همکاران^[3]، تاثیر آرایش‌های مختلف الکترودهای تزریق کننده و جمع کننده را بر توزیع میدان الکتریکی و میدان جریان به صورت عددی تحلیل کردند. آن‌ها نشان دادند که آرایش‌های مختلف الکترودی منجر به شکل‌گیری الگوهای متفاوت در جریان‌های چرخشی می‌شود. همچنین میزان شدت جریان چرخشی با افزایش نیروی اینرسی حاصل از جریان ورودی به کانال، کاهش می‌یابد. احمدو و هاوت^[4] و دیلمی و همکاران^[5] انتقال حرارت در یک کانال مسطح را در حضور پدیده الکتروهیدرودینامیک به صورت عددی مورد بررسی قرار دادند. نتایج آن‌ها نشان دهنده آن است که تاثیر پدیده الکتروهیدرودینامیک با افزایش ولتاژ اعمالی و کاهش شعاع الکترود تزریق کننده، در اعداد رینولدز پایین‌تر بیشتر بوده و موجب بهبود انتقال حرارت می‌شود. همچنین انتخاب آرایش مناسب الکترودها و فاصله مناسب مابین آن‌ها، تاثیر قابل توجهی بر افزایش انتقال حرارت دارد. مستجیری و همکاران^[6] به صورت عددی به مطالعه جریان سیال و انتقال حرارت روی یک پله پسره تحت تاثیر میدان الکتریکی پرداختند. آن‌ها دریافتند که فاصله بین الکترود تزریق کننده از لبه پله تاثیر چشمگیری بر میزان انتقال حرارت و الگوی جریان سیال دارد.

در مقایسه با روش‌های مختلف خشک کردن مانند استفاده از هوای داغ، مایکروویو و خشک کردن صوتی، استفاده از محرک الکتروهیدرودینامیک به دلیل نداشتن ارتعاش و سروصدای، مصرف انرژی پایین، به کارگیری آسان و فرآیند خشک کردن در دمای پایین، منجر به تولید محصول با کیفیت بالا و بدون تغییر در خواص فیزیکی و شیمیایی می‌شود^[7]. به دلیل پیچیدگی ارتباط بین معادلات میدان جریان، میدان الکتریکی و همچنین پیچیدگی شبیه‌سازی عددی انتقال همزمان حرارت و جرم در مز جسم مرتبط با سیال عامل، بیشتر تحقیقات انجام شده در این زمینه به صورت آزمایشگاهی می‌باشد. بارتاکور^[7] در سال 1990 به صورت تجربی سرعت خشک شدن محلول‌های نمک طعام در حضور محرک الکتروهیدرودینامیک را بررسی نمود. مطالعه او نشان داد که نرخ خشک شدن نمک طعام در حضور میدان الکتریکی می‌تواند ۳.۵ تا ۳.۹ برابر افزایش یابد. در سال 1994 چن و بارتاکور^[8] خشک شدن تکه‌های سیب‌زمینی را تحت تاثیر محرک الکتروهیدرودینامیک به صورت تجربی مورد بررسی قرار دادند. آن‌ها نشان دادند که نرخ خشک شدن برای ضخامت‌های ۲ و ۴ میلی‌متری ۲.۵ برابر و برای ضخامت ۸ میلی‌متری تا ۲.۱ برابر افزایش می‌یابد. همچنین آن‌ها

^۱ Electrohydrodynamic

^۲ Corona wind

^۳ Emitting electrode

^۴ Collector electrode

^۵ Eckert
^۶ Hartmann
^۷ Schmidt
^۸ Darcy

3- معادلات حاکم

میدان‌های جریان سیال، دما و غلظت تحت تاثیر میدان الکتریکی قرار می‌گیرند که در بخش‌های بعدی، این معادلات برای سیال هوا بیان می‌شوند. لازم به ذکر است که برای جسم مرطوب معادلات بقای انرژی و رطوبت نیز استفاده شده است.

3-1- معادلات میدان الکتریکی

نیروی حجمی اعمال شده توسط میدان الکتریکی بر میدان جریان به صورت زیر بیان می‌شود [18]:

$$F_{ei} = \rho_c E - \frac{1}{2} E^2 \nabla \epsilon + \frac{1}{2} \nabla \left[E^2 \rho \left(\frac{\partial \epsilon}{\partial \rho} \right)_T \right] \quad (1)$$

در رابطه (1) مولفه‌های دوم و سوم نیروی حجمی پدیده الکتروهیدرودینامیک به دلیل ثابت بودن ضریب گذرهای الکتریکی برای سیال تراکم‌ناپذیر هوا صرف نظر می‌شوند [18]. بنابراین تنها مولفه موثر در این پدیده، نیروی کولمب خواهد بود.

به منظور تعیین نیروی حجمی ناشی از اعمال میدان الکتریکی و اضافه کردن آن به معادلات مونتم، از معادلات پتانسیل الکتریکی و بقای جریان الکتریکی به عنوان معادلات حاکم بر میدان الکتریکی، به صورت زیر استفاده می‌شود [19]:

$$\nabla^2 V = -\frac{\rho_c}{\epsilon} \quad (2)$$

$$\frac{\partial \rho_c}{\partial t} + \nabla \cdot J_i = 0 \quad (3)$$

که در رابطه (3)، J چگالی جریان الکتریکی به صورت زیر تعریف می‌شود:

$$J_i = \rho_c \beta E_i + \rho_c u_i + \sigma E_i \quad (4)$$

که در این رابطه، شدت میدان الکتریکی از رابطه (5) به دست می‌آید.

$$E_i = -\nabla V \quad (5)$$

سه عبارت سمت راست معادله (4) به ترتیب تحرک یونی، جابه‌جایی و هدایت الکتریکی نامیده می‌شوند. به دلیل بالاتر بودن مرتبه بزرگی تحرک یونی نسبت به جابه‌جایی و هدایت الکتریکی، از عبارت‌های دوم و سوم صرف نظر می‌شود. با اعمال فرضیات فوق و ترکیب روابط (3) و (4)، قانون بقای جریان الکتریکی به صورت زیر ساده می‌شود:

$$\frac{\partial \rho_c}{\partial t} + \nabla \cdot (-\rho_c \beta \nabla V) = 0 \quad (6)$$

روابط (2)، (5) و (6) معادلات اساسی حاکم بر میدان الکتریکی می‌باشند که به منظور تعیین نیروی کولمب به طور همزمان حل می‌شوند.

3-2- معادلات میدان جریان

معادلات حاکم بر جریان سیال شامل پیوستگی، مونتم، بقای انرژی و غلظت می‌باشند. از آنجایی که جریان ثانویه ایجاد شده توسط محرك الکتروهیدرودینامیک به صورت موضوعی آشفته است، بنابراین نیاز است که جریان سیال به صورت آشفته مدل‌سازی شود [20]. در این مطالعه، جهت مدل‌سازی جریان آشفته، مدل دو معادله‌ای کی-اپسیلون استاندارد بر پایه معادلات متوضط‌گیری شده مونتم به کار رفته است. همچنین خواص ترمودینامیکی سیال ثابت در نظر گرفته شده است. در ادامه معادلات حاکم بر جریان سیال آشفته با فرض جریان دو بعدی و تراکم‌ناپذیر بیان شده است [21].

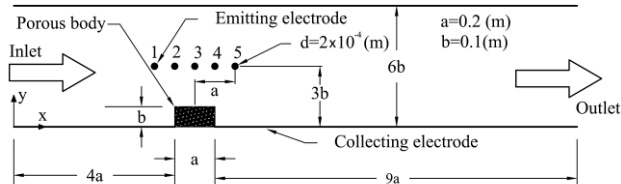
پیوستگی:

در مطالعه آن‌ها بررسی نشده است بنابراین هدف تحقیق حاضر بررسی عددی تاثیر پارامترهای ولتاژ اعمالی و سرعت جریان سیال ورودی بر نرخ انتقال جرم از یک آجر به عنوان جسم مرطوب در حضور محرك الکتروهیدرودینامیک می‌باشد. لازم به ذکر است اکثر مطالعات به منظور خشک کردن مواد مرطوب تحت تاثیر محرك الکتروهیدرودینامیک به صورت آزمایشگاهی انجام شده است. بنابراین تحلیل عددی به منظور مطالعه پارامترهای مختلف و بررسی اثرگذاری آن‌ها می‌تواند از اهمیت بالای در فرآیند خشک کردن برخوردار باشد. همچنین نوآوری کار حاضر نسبت به دیگر مطالعات اشاره شده، بررسی مکان قرارگیری تک الکتروود تزریق کننده نسبت به جسم مرطوب به منظور یافتن نقطه‌ای با بیشینه نرخ خشک کردن می‌باشد.

2- هندسه و خواص فیزیکی مسئله

نمای شماتیک هندسه دو بعدی مسئله موردنظر، ابعاد به کار رفته و مکان‌های قرارگیری الکتروود تزریق کننده و جمع‌کننده در "شکل 1" نشان داده شده است.

به منظور یافتن بیشینه نرخ انتقال جرم از جسم مرطوب، الکتروود تزریق کننده در 5 مکان مختلف قرار داده شده است. هوا با سرعت مشخص از سمت چپ وارد کanal می‌شود و با عبور از سطح جسم مرطوب و جذب رطوبت از سمت دیگر کanal خارج می‌شود. خواص فیزیکی هوا و آجر به عنوان جسم مرطوب در جدول 1 آورده شده است.



شکل 1 نمایی شماتیک از دامنه محاسباتی

شکل 1 نمایی شماتیک از دامنه محاسباتی

جدول 1 خواص آجر و هوا [14]

Table 1 Properties of brick and air [14]

پارامتر	مقدار
چگالی جسم خشک (ρ_0)	1.8e03 kg/m ³
ضریب پخش سیال (D)	2.56e-05 m ² /s
ضریب پخش هم‌دمای فاز مایع (D_{ml})	1.0e-08 m ² /s
ضریب پخش هم‌دمای فاز بخار (D_{mv})	1.0e-12 m ² /s
ضریب پخش غیر‌هم‌دمای فاز مایع (D_{tl})	1.0e-12 m ² /K s
ضریب پخش غیر‌هم‌دمای فاز بخار (D_{tv})	1.0e-12 m ² /K s
ضریب هدایت حرارتی سیال (K)	0.02568 W/m K
ضریب هدایت حرارتی جسم متخلخل (k_p)	1.8 W/m K
ظرفیت گرمایی جسم خشک (c_0)	1.2e03 J/kg K
گرمایی نهان تبخیر آب (h_{fg})	2454 kJ/kg K
دماهی هوای ورودی (T_{in})	20 °C
غلظت هوای ورودی (C_{in})	8.653e-03 kg/m ³
طروبت اولیه جسم مرطوب (M)	0.13 kg/kg dry solid

دیوارهای جامد از رابطه (17) استفاده شده است.

$$k = \frac{(u^*)^2}{\sqrt{c_\mu f_\mu}}, \quad \varepsilon = \frac{(u^*)^3}{\kappa y} \quad (17)$$

که u^* سرعت اصطکاکی است و از رابطه (18) بدست می‌آید.

$$u^* = \sqrt{\frac{\tau_w}{\rho}} \quad (18)$$

که در آن τ_w تنفس برشی دیواره و از رابطه (19) قابل محاسبه است.

$$\tau_w = \frac{\mu}{\rho} \frac{\partial u}{\partial y} \quad (19)$$

شرایط مرزی در مرز جامد با هوا مطابق زیر می‌باشد [14]:

بیوستگی دما:

$$T_f = T_s \quad (20)$$

غلظت سیال در فصل مشترک جسم مرطوب و سیال، تابعی از دما و رطوبت می‌باشد. رطوبت نسبی با توجه به رابطه (21) بدست می‌آید [23].

$$\phi = 1 - \exp(-17M^{-0.6}) \quad (21)$$

رابطه (21)، رابطه دفع همدماهی اصلاح شده هندرسون می‌باشد. این رابطه به منظور تعیین رطوبت نسبی موضعی در سطح مشترک جسم مرطوب

و هوا استفاده می‌شود و رابطه بین جسم مرطوب و سیال هوا می‌باشد. لازم

به ذکر است که ثابت‌های رابطه فوق از طریق سعی و خطأ بدست می‌آیند.

همچنین غلظت سیال با توجه به روابط ترمودینامیکی به صورت زیر محاسبه می‌شود.

$$C = \frac{2.167 \times \phi \times P_g}{T} \quad (22)$$

که در رابطه (22) P_g فشار بخار اشباع در دمای موضعی می‌باشد.

تعادل شار حرارتی:

$$(k_p + \rho_0 h_{fg} D_{tv}) \frac{\partial T}{\partial n} + \rho_0 h_{fg} D_{mv} \frac{\partial M}{\partial n} = K \frac{\partial T_f}{\partial n} + h_{fg} D \frac{\partial C}{\partial n} \quad (23)$$

تعادل شار اجزاء:

$$\rho_0 \left(D_{tv} \frac{\partial T}{\partial n} + D_{mv} \frac{\partial M}{\partial n} \right) = D \frac{\partial C}{\partial n} \quad (24)$$

همچنین شرایط مرزی پتانسیل الکتریکی و چگالی بار الکتریکی در کل دامنه محاسباتی در جدول 3 نشان داده شده است.

تعیین شرط مرزی چگالی بار الکتریکی بر روی الکترود تزریق‌کننده به طور مستقیم قابل محاسبه نیست و با سعی و خطأ بدست می‌آید. در این مطالعه از فرضیه کاپتووف و قانون پیک به منظور تعیین چگالی بار الکتریکی استفاده شده است. فرضیه کاپتووف بیان می‌کند که بعد از شروع تخلیه کرونا، میدان الکتریکی با افزایش ولتاژ ثابت می‌ماند. براساس این فرضیه چگالی بار الکتریکی بر روی الکترود تزریق‌کننده حدس زده می‌شود و میدان الکتریکی محاسبه و سپس با عدد پیک محاسبه شده از رابطه (25) مقایسه می‌شود. این

جدول 2 شرایط مرزی دما، غلظت و سرعت سیال

Table 2 Boundary conditions for temperature, concentration and velocity

سرعت	غلظت	دما	مرز
$u = u_0$	$C = C_0$	$T = T_0$	$x = 0 \text{ m}$
$\partial u / \partial x = 0$	$\partial C / \partial x = 0$	$\partial T / \partial x = 0$	$x = 2.8 \text{ m}$
$u = 0$	$\partial C / \partial n = 0$	$\partial T / \partial n = 0$	الکترود تزریق‌کننده
$u = 0$	$\partial C / \partial y = 0$	$\partial T / \partial y = 0$	$y = 0 \text{ m}$
$u = 0$	$\partial C / \partial y = 0$	$\partial T / \partial y = 0$	$y = 0.6 \text{ m}$

$$\frac{\partial \rho}{\partial t} + \frac{\partial}{\partial x_i} (\rho u_i) = 0 \quad (7)$$

مومنت:

$$\frac{\partial}{\partial t} (\rho u_i) + \frac{\partial}{\partial x_j} (\rho u_i u_j) = - \frac{\partial P}{\partial x_i} + \frac{\partial}{\partial x_j} \left[(\mu + \mu_t) \left(\frac{\partial u_i}{\partial x_j} + \frac{\partial u_j}{\partial x_i} \right) \right] + F_{ei} \quad (8)$$

انرژی:

$$\frac{\partial}{\partial t} (\rho c_p T) + \frac{\partial}{\partial x_j} (\rho c_p u_i T) = \frac{\partial}{\partial x_j} \left[(K + \frac{\mu_t c_p}{Pr_t}) \frac{\partial T}{\partial x_j} \right] \quad (9)$$

غلظت:

$$\frac{\partial}{\partial t} (\rho c_p C) + \frac{\partial}{\partial x_j} (\rho c_p u_i C) = \frac{\partial}{\partial x_j} \left[(D + \frac{\mu_t c_p}{Sc_t}) \frac{\partial C}{\partial x_j} \right] \quad (10)$$

در رابطه (8)، F_{ei} بیانگر نیروی کولمب می‌باشد. در روابط (8) تا (10) μ_t لزجت آشفتگی می‌باشد که در مدل کی-اپسیلون استاندارد به صورت زیر محاسبه می‌شود [21]:

$$\mu_t = \rho C_\mu \frac{k^2}{\varepsilon} \quad (11)$$

در رابطه (11)، k انرژی جنبشی آشفتگی و ε نرخ پراکندگی انرژی جنبشی آشفتگی می‌باشند که با استفاده از روابط (12) و (13) بدست می‌آیند.

$$\frac{\partial(\rho k)}{\partial t} + \frac{\partial}{\partial x_i} (\rho k u_i) = \frac{\partial}{\partial x_j} \left[\mu_t \frac{\partial k}{\sigma_k \partial x_j} \right] + \left[\mu_t \left(\frac{\partial u_i}{\partial x_j} + \frac{\partial u_j}{\partial x_i} \right) - \frac{2}{3} \rho \delta_{ij} k \right] \frac{\partial u_j}{\partial x_i} - \rho \varepsilon \quad (12)$$

$$\frac{\partial(\rho \varepsilon)}{\partial t} + \frac{\partial}{\partial x_i} (\rho \varepsilon u_i) = \frac{\partial}{\partial x_j} \left[\mu_t \frac{\partial \varepsilon}{\sigma_\varepsilon \partial x_j} \right] + C_{1\varepsilon} \frac{\varepsilon}{k} \left[\mu_t \left(\frac{\partial u_i}{\partial x_j} + \frac{\partial u_j}{\partial x_i} \right) - \frac{2}{3} \rho \delta_{ij} k \right] \frac{\partial u_j}{\partial x_i} - C_{2\varepsilon} \rho \frac{\varepsilon^2}{k} \quad (13)$$

همچنین اعداد ثابت معادلات کی-اپسیلون استاندارد به صورت زیر تعریف می‌شوند [21]:

$$C_{1\varepsilon} = 1.44, C_{2\varepsilon} = 1.92, C_\mu = 0.09, \sigma_k = 1, \sigma_\varepsilon = 1.3 \quad (14)$$

3- معادلات حاکم برای جسم مرطوب

معادلات بقای رطوبت و انرژی برای جسم مرطوب که از قانون فیک و قانون دارسی به دست آمده است، عبارتند از [14]:

$$\frac{\partial M}{\partial t} = (D_{tl} + D_{tv}) \left(\frac{\partial^2 T}{\partial x^2} + \frac{\partial^2 T}{\partial y^2} \right) + (D_{ml} + D_{mv}) \left(\frac{\partial^2 M}{\partial x^2} + \frac{\partial^2 M}{\partial y^2} \right) \quad (15)$$

$$(c_0 + m_l c_l + m_v c_v) \frac{\partial T}{\partial t} = (h_{fg} D_{mv}) \left(\frac{\partial^2 M}{\partial x^2} + \frac{\partial^2 M}{\partial y^2} \right) + \left(\frac{k}{\rho_0} + h_{fg} D_{tv} \right) \left(\frac{\partial^2 T}{\partial x^2} + \frac{\partial^2 T}{\partial y^2} \right) \quad (16)$$

4- شرایط مرزی

در ورودی کانال، هوا دارای سرعت یکنواخت، دما و رطوبت مشخص می‌باشد.

شرط توسعه یافته‌گی برای تمامی متغیرهای مسئله در مرز خروجی در نظر گرفته شده است. دیوارهای بالا و پایین به صورت آدیباتیک و همه مرزهای جامد دارای شرط عدم لغزش می‌باشند. مشخصات سیال در مرزهای مورد نظر در جدول 2 ذکر شده است. برای محاسبه کی و اپسیلون در نزدیکی

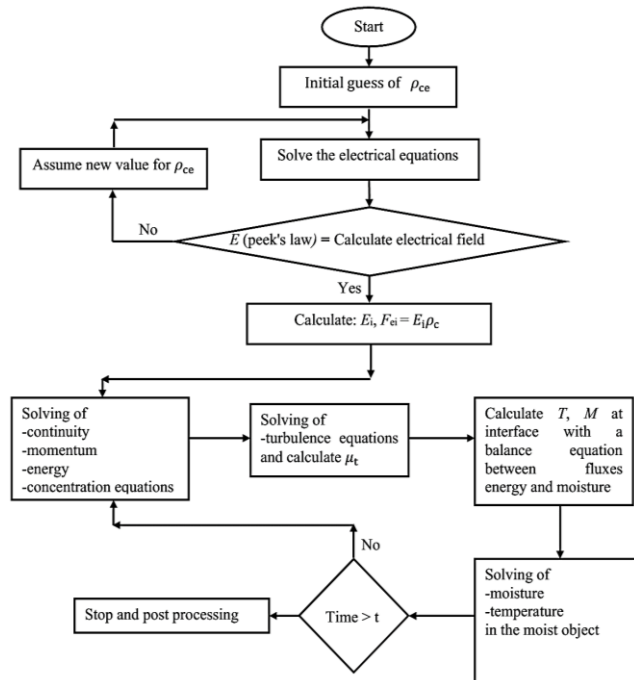


Fig. 2 Flowchart of numerical solution

شکل 2 فلوچارت حل عددی

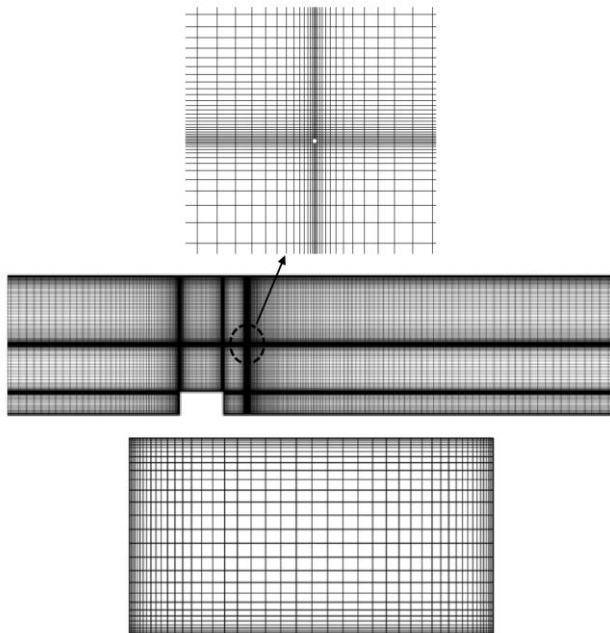


Fig. 3 The view of the computational grid

شکل 3 نمایی از شبکه محاسباتی

استقلال از شبکه انتخاب شده است. همان‌گونه که در "شکل 4" مشاهده می‌شود، برای مطالعه استقلال از شبکه از چهار شبکه‌بندی مختلف در عدد رینولدز 200 استفاده شده است. با توجه به "شکل 4" واضح است که با تغییر تعداد شبکه از 39200 به 45000 تفاوت اندکی در جواب‌ها مشاهده می‌شود، بنابراین شبکه با تعداد 39200 به لحاظ داشتن دقت و زمان محاسباتی مناسب، به عنوان شبکه مناسب انتخاب شده است. لازم به ذکر است که استقلال از شبکه برای دیگر شرایط نیز مورد بررسی قرار گرفته است.

جدول 3 شرایط مرزی پتانسیل و چگالی بار الکتریکی

Table 3 Boundary conditions for potential and electric charge density

چگالی بار الکتریکی	پتانسیل	مرز
$\partial \rho_c / \partial x = 0$	$\partial V / \partial x = 0$	$x = 0 \text{ m}$
$\partial \rho_c / \partial x = 0$	$\partial V / \partial x = 0$	$x = 2.8 \text{ m}$
قانون پیک	$V = V_0$	الکترود تزریق‌کننده
$\partial \rho_c / \partial y = 0$	$V = 0$	$y = 0 \text{ m}$
$\partial \rho_c / \partial y = 0$	$\partial V / \partial y = 0$	$y = 0.6 \text{ m}$
$\partial \rho_c / \partial n = 0$	$\partial V / \partial n = 0$	مرز جسم متخلخل با سیال

روند سعی و خطا تا برابر شدن میدان الکتریکی به دست آمده از حل عددی و مقدار حاصل از رابطه پیک ادامه می‌یابد [22].

$$E_0 = 3.1 \times 10^6 \left(1 + \frac{0.308}{\sqrt{r}}\right) \quad (25)$$

5- روش حل عددی

به منظور حل عددی معادلات حاکم، از زبان برنامه‌نویسی فرتون¹ 95 استفاده شده و روش حجم محدود برای گسسته‌سازی معادلات حاکم در نظر گرفته شده است. ابتدا معادلات میدان الکتریکی به روش صریح و پایا، حل می‌شوند. برای این منظور بعد از یافتن مقدار مناسب چگالی بار میدان‌های پتانسیل و چگالی بار الکتریکی ادامه می‌یابد. به منظور تشخیص همگرایی، معیار کاهش باقیمانده‌های تراز شده 10^{-7} می‌باشد. پس از همگرا شدن حل، نیروی کولمب برای افزودن به معادله مومنتوم محاسبه می‌شود. در ادامه معادلات جریان سیال در حالت ناپایا و توسط حل کننده بر پایه فشار به صورت ضمنی شبیه‌سازی شده‌اند. برای جلوگیری از انتشار خطای عددی، جملات جابه‌جایی و نفوذ در این معادلات به روش پیوندی² گسسته‌سازی شده و همچنین برای تصحیح ارتباط ارتباط سرعت و فشار از الگوریتم سیمپل³ استفاده شده است. با محاسبه دما و رطوبت در مرز جسم مرتبط با هوا، شرایط مرزی مورد نیاز برای حل معادلات جسم مرتبط نیز فراهم می‌شود. محاسبات مربوط به معادلات جریان سیال و جسم مرتبط تا دست‌یابی به مانده‌های حداقل 10^{-6} انجام شده است. الگوریتم حل عددی در "شکل 2" نشان داده شده است. کلیه محاسبات با استفاده از پردازشگر هفت هسته‌ای با 3.9 گیگاهرتز اینتل انجام شده و زمان محاسباتی حدود 4-2 ساعت برای معادلات جریان الکتریکی و حدود 20-25 ساعت برای معادلات جریان سیال و ماده متخلخل می‌باشد.

6- شبکه محاسباتی و استقلال حل عددی از شبکه

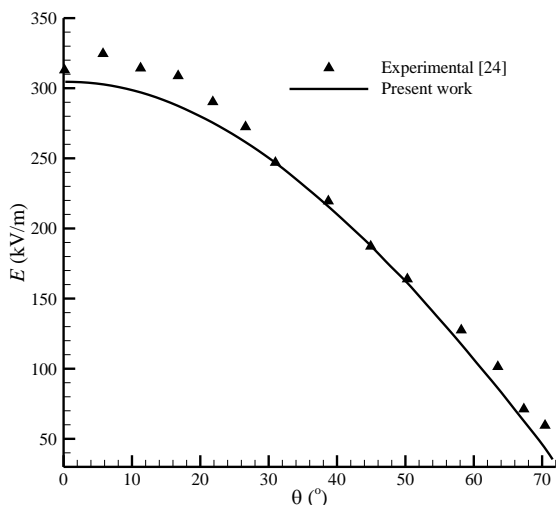
شبکه محاسباتی ایجاد شده به صورت سازمان‌یافته و غیریکنواخت می‌باشد. به منظور افزایش دقت محاسباتی در مکان‌های نزدیک دیواره، الکترود تزریق‌کننده و لبه جسم مرتبط که گرادیان‌های شدید وجود دارد، از شبکه‌بندی با تراکم بیشتری استفاده شده است. در "شکل 3" نمایی از شبکه محاسباتی، شبکه‌بندی ایجاد شده در اطراف الکترود تزریق‌کننده و جسم مرتبط نشان داده شده است.

به منظور بررسی عدم وابستگی نتایج حل عددی به شبکه محاسباتی، مقدار رطوبت جسم مرتبط در لبه حمله با گذر زمان به عنوان پارامتر

¹ Fortran

² Hybrid

³ SIMPLE



شکل 6 توزیع میدان الکتریکی بر روی صفحه تخت در ولتاژ اعمالی 18 کیلو ولت

$$h = \frac{-D \frac{\partial C}{\partial n}}{(C_w - C_{in})} \quad (26)$$

$$\bar{h} = \frac{1}{L_1} \int_0^{L_1} h_1 dy + \frac{1}{L_t} \int_0^{L_t} h_t dx + \frac{1}{L_r} \int_0^{L_r} h_r dy \quad (27)$$

$$\overline{Sh} = \frac{\bar{h} L_s}{D} \quad (28)$$

در رابطه (28)، L_s سطح مرطوب جسم مرطوب شامل سطوح بالایی و جانبی ($L_s = L_1 + L_t + L_r$) می‌باشد. بهمنظور ارزیابی تأثیر پدیده الکتروهیدرودینامیک، ζ به صورت نسبت عدد شروود متوسط در حضور میدان الکتریکی به عدد شروود متوسط بدون حضور میدان الکتریکی تعریف شده است.

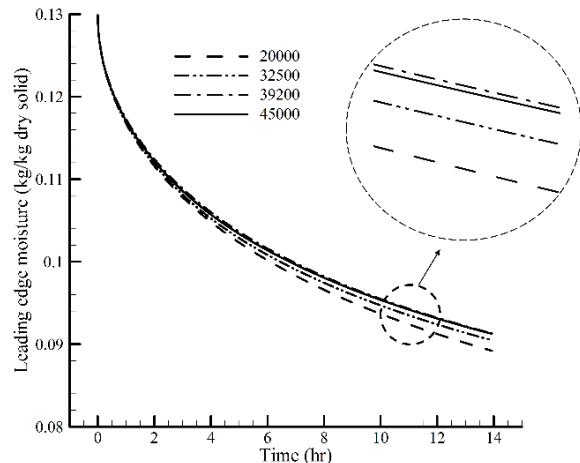
$$\zeta = \frac{\overline{Sh}_{EHD}}{\overline{Sh}_{non-EHD}} \quad (29)$$

1- خشک کردن آجر بدون میدان الکتریکی

توزیع رطوبت درون جسم مرطوب در زمان‌های مختلف و بدون حضور میدان الکتریکی در "شکل 7" نشان داده شده است. نتایج به دست آمده در عدد رینولدز 500 حاکی از آن است که نرخ انتقال جرم در اطراف لبه حمله بیشتر از سایر سطوح جسم مرطوب می‌باشد و همان‌گونه که مشاهده می‌شود با گذرازمان، خشک شدن به درون جسم مرطوب نفوذ می‌کند.

بهمنظور بررسی این پدیده، خطوط جریان اطراف جسم مرطوب در "شکل 8" نشان داده شده است. همان‌گونه که مشاهده می‌شود، بهدلیل تراکم خطوط جریان و بالا بودن نرخ جرمی سیال عبوری در لبه حمله، نرخ انتقال جرم در این منطقه افزایش می‌یابد. همچنین نرخ انتقال جرم از سطح سمت راست جسم مرطوب بهدلیل جدایش جریان و کاهش مومنت در این ناحیه کاهش می‌یابد.

در "شکل 9" منحنی خشک کردن جسم مرطوب در اعداد رینولدز مختلف نشان داده شده است. همان‌گونه که مشاهده می‌شود، با افزایش عدد رینولدز به علت افزایش نرخ جرمی سیال عبوری از سطح جسم مرطوب رطوبت متوسط جسم مرطوب با گذرازمان کاهش و در نتیجه نرخ خشک شدن جسم مرطوب افزایش می‌یابد.



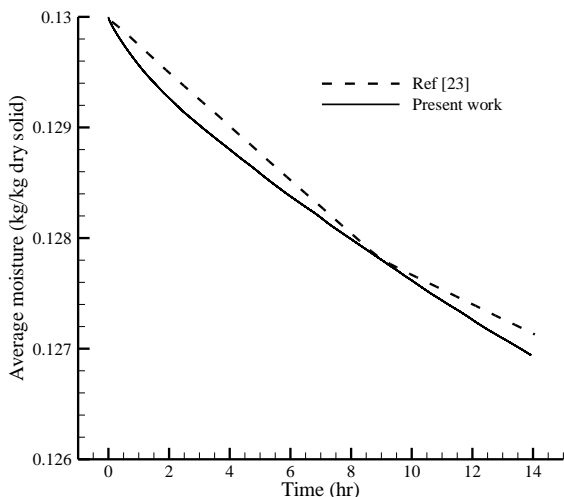
شکل 4 توزیع رطوبت در لبه حمله برای شبکه‌های مختلف

7- اعتبارسنجی نتایج

جهت بررسی صحت نتایج عددی، منحنی خشک شدن جسم مرطوب بر حسب زمان با نتایج تجربی موروگسان و همکاران [23] برای جریان هوا با عدد رینولدز 200 در "شکل 5" مقایسه شده است. همان‌گونه که مشاهده می‌شود نتایج عددی و داده‌های تجربی با دقت قابل قبولی مطابقت دارند. همچنین بهمنظور اعتبارسنجی نتایج میدان الکتریکی و تعیین دقیق نیروی کولمب، نتایج کار حاضر با نتایج تجربی اوسالا و زبوج [24] مقایسه شده است. آن‌ها به صورت تجربی توزیع میدان الکتریکی روی یک صفحه تخت را مورد بررسی قرار دادند. در "شکل 6" نتایج مطالعه حاضر با نتایج تجربی مقایسه و تطابق خوبی مشاهده گردید.

8- بحث و بررسی نتایج

بهمنظور ارزیابی نرخ انتقال جرم از جسم مرطوب، از پارامتر بی بعد عدد شروود متوسط استفاده شده است. عدد شروود متوسط از میانگین ضریب انتقال جرم موضعی (رابطه (27)) در سطح مرطوب جسم مرطوب مطابق رابطه (28) محاسبه می‌شود.

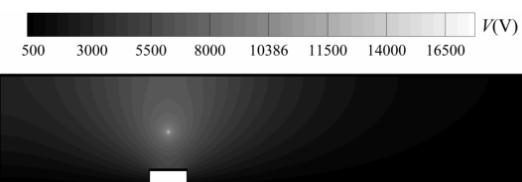
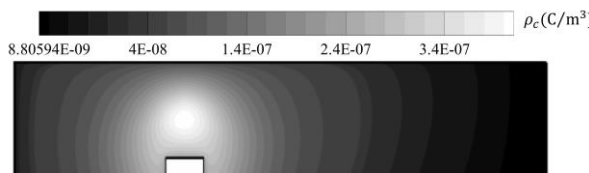
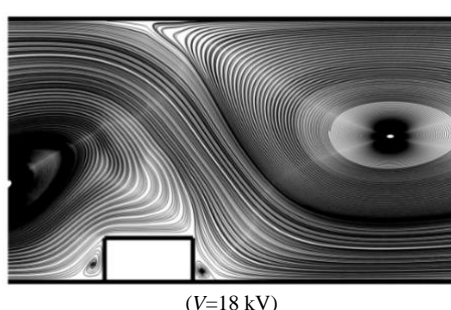
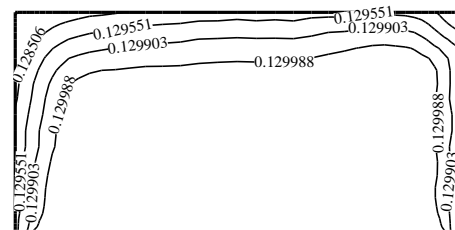


شکل 5 مقایسه رطوبت متوسط در کار حاضر با نتایج موروگسان و همکاران [23]

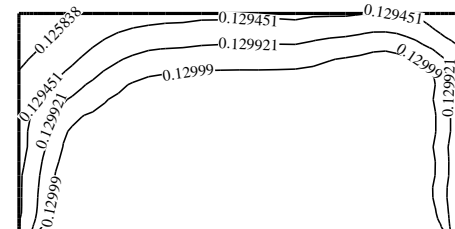
8-2- تاثیر میدان الکتریکی بر میدان جریان، دما و غلظت هوای

توزیع پتانسیل و چگالی بار الکتریکی متناظر با ولتاژ اعمالی 18 کیلو ولت برای حالتی که الکترود تزریق‌کننده در وضعیت 3 قرار داشته باشد، در "شکل 10 و 11" نشان داده شده است. همان‌گونه که مشاهده می‌شود، گرادیان الکتریکی در نواحی اطراف الکترود تزریق‌کننده نسبت به سایر نواحی بیشتر است و در نتیجه میدان الکتریکی قوی‌تری در اطراف الکترود تزریق‌کننده ایجاد می‌شود. از طرفی دیگر مقدار چگالی بار الکتریکی بر روی الکترود تزریق‌کننده بیشینه است و با نزدیک شدن به دیوارها کاهش می‌یابد. بنابراین، نیروی کولمب در مجاورت الکترود تزریق‌کننده بیشتر است و انتظار می‌رود جریان ثانویه حاصل از اعمال میدان الکتریکی در زیر سطح مذکور دارای قدرت بیشتری باشد.

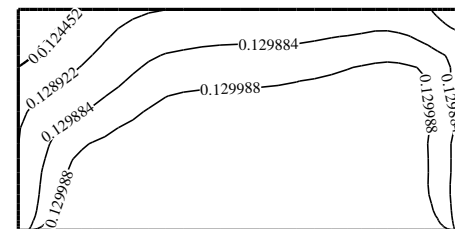
به منظور بررسی تاثیر میدان الکتریکی بر خشک کردن جسم مرطوب، خطوط جریان در اطراف جسم مرطوب برای پیکربندی حالت 3 و در ولتاژ‌های اعمالی 18 کیلو ولت در "شکل 12" ارائه شده است. همان‌گونه که مشاهده می‌شود، جریان ثانویه حاصل از اعمال میدان الکتریکی موجب ایجاد دو گردابه در جریان سیال و دو گردابه در نواحی اطراف جسم مرطوب می‌شود. همچنین انتظار می‌رود که با افزایش ولتاژ اعمال شده به الکترود تزریق‌کننده، جریان ثانویه حاصل از اعمال میدان الکتریکی تقویت شده و اندازه و قدرت گردابه‌های ایجاد شده بیشتر می‌شود. از آنجایی که قابلیت تبخیر جرم تحت تاثیر جریان ثانویه حاصل از پدیده الکتروهیدرودینامیک در ولتاژ‌های مختلف به وسیله قدرت گردابه تعیین می‌شود، به همین منظور اندازه سرعت در مکان‌های مختلف در اطراف جسم مرطوب در "شکل 13" نشان داده شده است. همان‌گونه که مشاهده می‌شود، با افزایش ولتاژ اعمالی قدرت گردابه‌ها و همچنین سرعت سیال به طور چشمگیری افزایش می‌یابد.

شکل 10 توزیع پتانسیل الکتریکی، $V=18$ kVشکل 10 توزیع پتانسیل الکتریکی، $V=18$ kVشکل 11 توزیع چگالی بار الکتریکی، $V=18$ kVشکل 11 توزیع چگالی بار الکتریکی، $V=18$ kVشکل 12 خطوط جریان اطراف جسم مرطوب، $Re=500$ شکل 12 خطوط جریان اطراف جسم مرطوب، $Re=500$ 

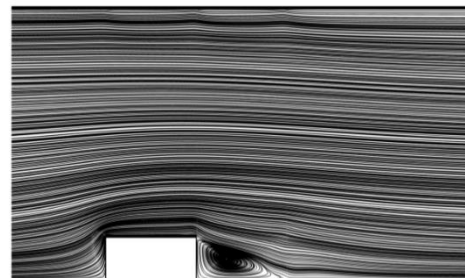
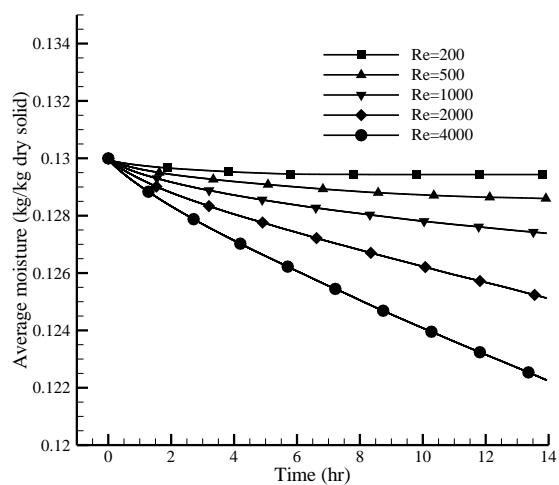
(2 hr)



(6 hr)

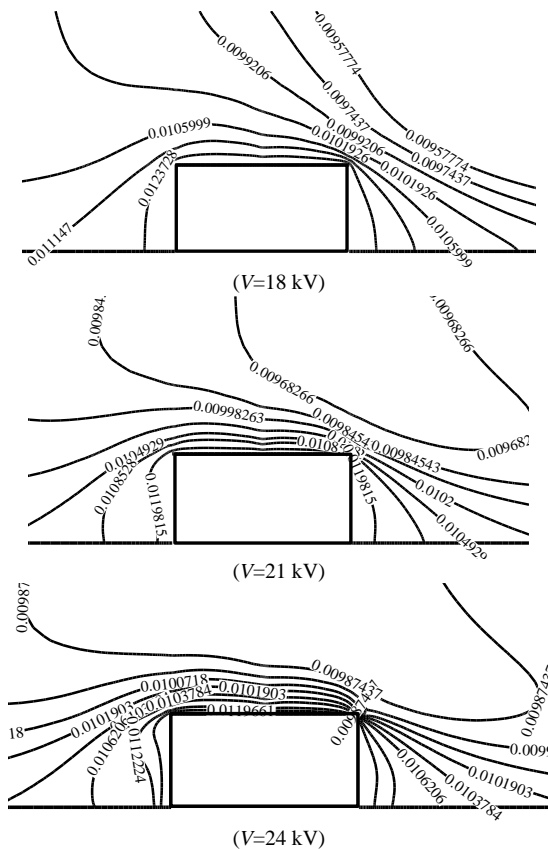


(12 hr)

شکل 7 توزیع رطوبت در طی فرآیند خشک کردن، $Re=500$ شکل 7 توزیع رطوبت در طی فرآیند خشک کردن، $Re=500$ شکل 8 خطوط جریان اطراف جسم مرطوب، $Re=500$ شکل 8 خطوط جریان اطراف جسم مرطوب، $Re=500$ 

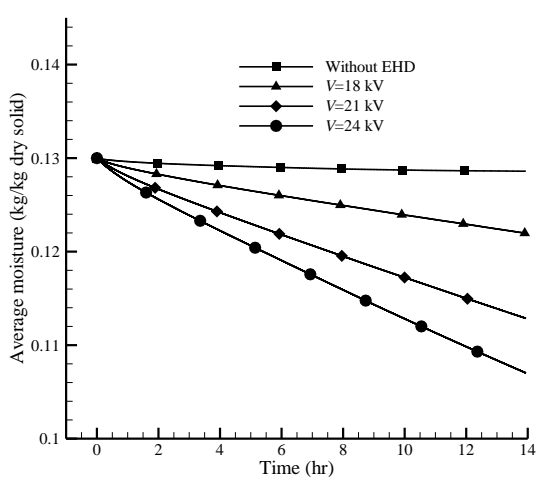
شکل 9 رطوبت متوسط جسم مرطوب در اعداد رینولدز مختلف

شکل 9 رطوبت متوسط جسم مرطوب در اعداد رینولدز مختلف

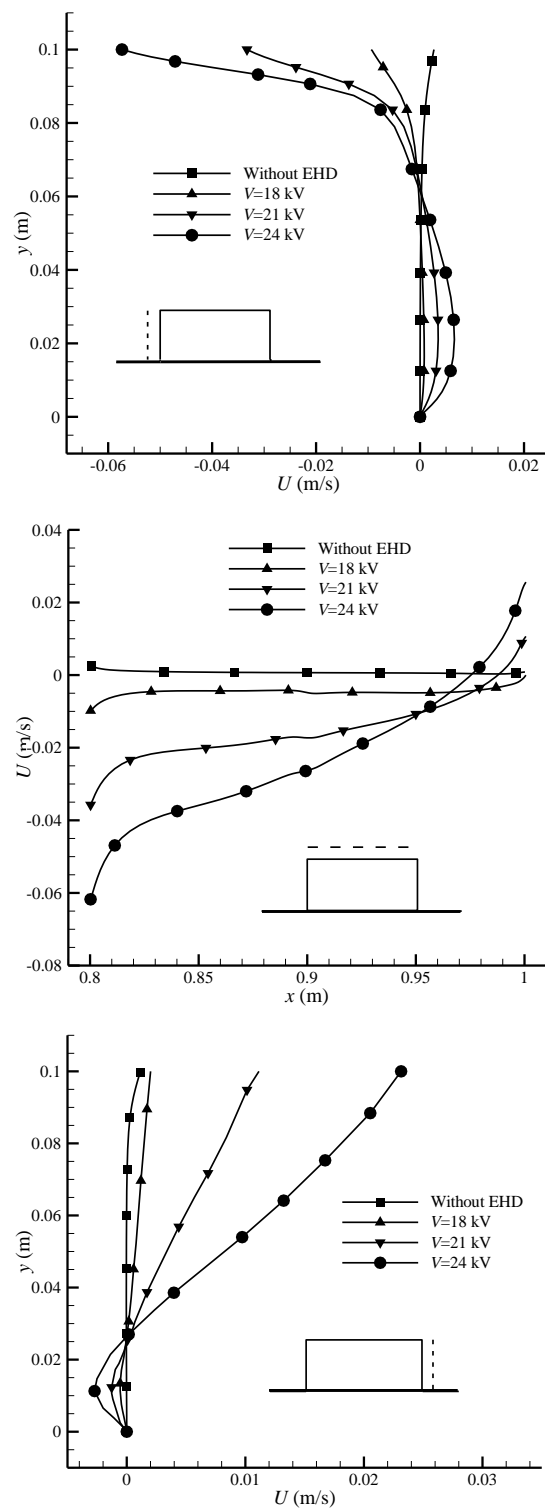


شکل ۱۴ توزیع غلظت در اطراف جسم مرطوب در ولتاژهای اعمالی مختلف،
Re=500

تأثیر ولتاژ اعمالی بر نرخ خشک کردن جسم متخلخل در "شکل ۱۵" نشان داده شده است. همان‌گونه که مشاهده می‌شود، به دلیل افزایش مومنتم اطراف سطوح جسم متخلخل در حضور میدان الکتریکی قوی، نرخ انتقال جرم افزایش یافته است. مطابق نتایج حاضر، رطوبت جسم متخلخل پس از ۱۴ ساعت، برای ولتاژهای اعمالی ۱۸، ۲۱ و ۲۴ کیلو ولت به ترتیب ۵.۲ و ۱۲.۲ و ۱۶.۷ درصد نسبت به عدم حضور میدان الکتریکی کاهش یافته است.



شکل ۱۵ رطوبت متوسط ماده جسم مرطوب در ولتاژهای اعمالی مختلف،
Re=500



شکل ۱۳ توزیع سرعت در اطراف جسم مرطوب در ولتاژهای اعمالی مختلف،
Re=500

همچنین توزیع غلظت در اطراف جسم مرطوب برای پیکربندی حالت ۳ و در ولتاژهای اعمالی ۱۸، ۲۱ و ۲۴ کیلو ولت در "شکل ۱۴" ارائه شده است. همان‌گونه که ذکر شده است با افزایش ولتاژ اعمالی سرعت سیال به طور چشمگیری افزایش می‌یابد در نتیجه گرادیان غلظت در اطراف جسم مرطوب با افزایش ولتاژ افزایش می‌یابد.

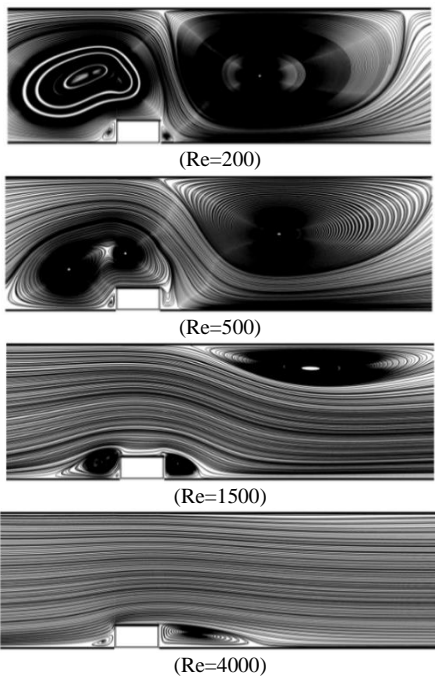


Fig. 17 Streamlines around the moist object, $V=18$ kV
شکل ۱۷ خطوط جریان در اطراف جسم مرطوب، $V=18$ kV

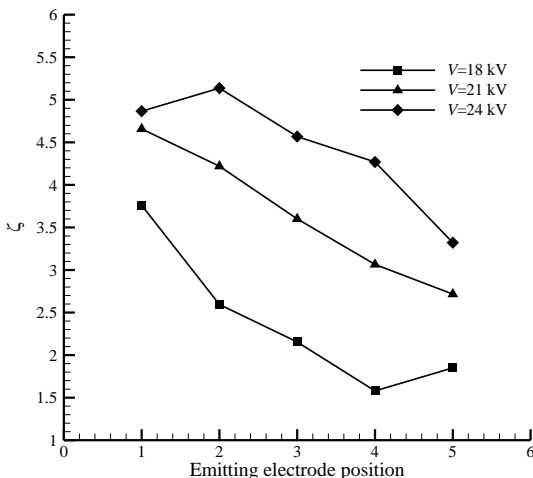


Fig. 18 The factor ζ as a function of emitting electrode position
شکل ۱۸ ضریب ζ به عنوان تابعی از مکان الکترود تزریق کننده

تزریق کننده دارد. همان‌گونه که مشاهده می‌شود، اگر الکترود تزریق کننده در سمت چپ جسم مرطوب قرار گرفته باشد (پیکربندی 1) بالاترین نرخ انتقال جرم حاصل می‌شود. این شرایط را می‌توان این‌گونه توجیه نمود که در این شرایط پدیده الکتروهیدرودینامیک باعث افزایش شتاب سیال روی سطح شده و در نتیجه گردایان غلظت روی سطح جسم مرطوب افزایش یافته و منجر به افزایش انتقال جرم می‌شود.

لازم به ذکر است که در جریان‌های با عدد رینولذز پایین با اعمال ولتاژ‌های قوی به علت تاثیر بالای جریان ثانویه بر جریان سیال، گردابه ایجاد شده حاصل از میدان الکتریکی بسیار حجمی و قوی خواهد بود و باعث ایجاد مانع برای جریان سیال می‌شود. بنابراین انتظار می‌رود اثرگذاری مثبت پیکربندی‌هایی که الکترود تزریق کننده در نواحی فوکانی جسم مرطوب قرار دارند، کاهش یابد. همچنین می‌توان بیان نمود که کاهش انتقال جرم در

۸-۳- تقابل مومنتم جریان سیال ورودی با جریان ثانویه حاصل از الکتروهیدرودینامیک

نرخ خشکشدن یک جسم مرطوب تحت تاثیر میدان الکتریکی در اعداد رینولذز مختلف در "شکل ۱۶" برای ولتاژ ۱۸ کیلو ولت و متناظر با پیکربندی 4 نمایش داده شده است. همان‌گونه که مشاهده می‌شود، در حضور میدان الکتریکی، نرخ خشکشدن جسم مرطوب در اعداد رینولذز پایین روند نزولی داشته و پس از آن با افزایش عدد رینولذز پایین روند صعودی خواهد داشت. به منظور توجیه این پدیده خطوط جریان برای اعداد رینولذز مختلف در "شکل ۱۷" ارائه شده است. همان‌گونه که مشاهده می‌شود، در اعداد رینولذز پایین اثرگذاری جریان ثانویه حاصل از میدان الکتریکی بر جریان سیال بیشتر است. بنابراین گردابه ایجاد شده حجمی‌تر و قوی‌تر بوده و موجب افزایش انتقال جرم می‌شود. با افزایش عدد رینولذز از قدرت و حجم گردابه حاصل از میدان الکتریکی کاسته شده و موجب کاهش اثرگذاری پدیده الکتروهیدرودینامیک ناچیز می‌شود. بنابراین انتظار می‌رود در حضور میدان الکتریکی، با کاهش عدد رینولذز نرخ خشکشدن بهبود یابد. البته ذکر این نکته ضروری است که اعمال میدان الکتریکی در جریان جابه‌جایی اجباری سیال در اعداد رینولذز پایین دارای تاثیر بیشتری است. اما از طرفی دیگر افزایش عدد رینولذز هم می‌تواند اثرات خشکشدن جابه‌جایی اجباری را بدون حضور میدان الکتریکی افزایش دهد. با توجه به اینکه بهبود انتقال جرم در حضور میدان الکتریکی بسیار بیشتر از جریان جابه‌جایی اجباری است، بنابراین در حضور میدان الکتریکی، عدد رینولذز پایین می‌تواند تاثیر بسزایی در افزایش نرخ انتقال جرم داشته باشد.

۸-۴- تاثیر موقعیت الکترود تزریق کننده

ضریب ζ به عنوان پارامتر افزایش انتقال جرم، به صورت تابعی از مکان الکترود تزریق کننده در ولتاژ اعمالی ۱۸ تا ۲۴ کیلو ولت برای پیکربندی‌های مختلف در "شکل ۱۸" نشان داده شده است. با توجه به "شکل ۱۸"، مشخص است که در یک عدد رینولذز معین، ضریب ζ و استنگی چشمگیری به مکان الکترود

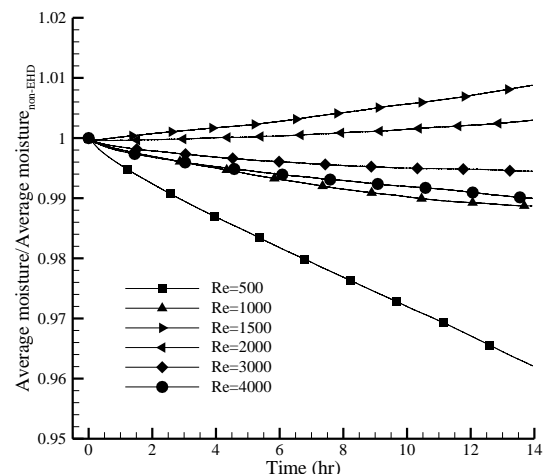


Fig. 16 Ratio of the average moisture content of the moist object at different Re numbers
شکل ۱۶ نسبت رطوبت متوسط جسم مرطوب در اعداد رینولذز مختلف

V	پتانسیل الکتریکی (V)	علایم یونانی
x, y	محضات	
β	یون پذیری ($m^2/V s$)	
ϵ	نرخ پراکندگی انرژی جنبشی (W)	
ϵ	ضریب گذردهی الکتریکی (F/m)	
μ	لزجت دینامیکی ($kg/m s$)	
θ	زاویه بین خط عمودی و خط واصل از الکترود	
	تزریق کننده به صفحه (Degree)	
ρ	چگالی سیال (kg/m^3)	
ρ_c	چگالی بار الکتریکی (C/m^3)	
σ_k, σ_e	ثابت مدل کی-اپسیلون	
κ	ثابت کارمن	
τ	تنش برشی (N/m^2)	
	زیرنویس‌ها	
e	الکتریکی	
f	سیال	
i, j	x, y اشاره به	
in	ورودی	
l	مایع	
p	جسم متخلخل	
s	سطح جسم متخلخل	
t	آشفته	
v	بخار	

11- مراجع

- M. Yang, C. Ding, Electrohydrodynamic (EHD) drying of the Chinese wolfberry fruits, *SpringerPlus*, Vol. 5, No. 1, pp. 909, 2016.
- S. O. Ahmedou, O. Rouaud, Assessment of the electrohydrodynamic drying process, *Food and Bioprocess Technology*, Vol. 2, No. 3, pp. 240-247, 2009.
- S. N. Ayottaya, C. Chakranadec, P. Rattanadecho, Numerical analysis of electric force influence on heat transfer in a channel flow (theory based on saturated porous medium approach), *International Journal of Heat and Mass Transfer*, Vol. 64, No. 1, pp. 361-374, 2013.
- S. O. Ahmedou, M. Havet, Effect of process parameters on the EHD airflow, *Journal of Electrostatics*, Vol. 67, No. 2-3, pp. 222-227, 2009.
- H. Mohaddes Deylami, N. Amanifard, F. Dolati, R. Kouhikamali, K. Mostajiri Abid, Numerical investigation of using various electrode arrangements for amplifying the EHD enhanced heat transfer in a smooth channel, *Journal of Electrostatics*, Vol. 71, No. 4, pp. 656-665, 2013.
- M. Mostajiri Abid, N. Amanifard, H. Mohaddes Deylami, F. Dolati, Numerical investigation of flow and temperature field on the backwardfacing step affected by Electrohydrodynamic actuator, *Modares Mechanical Engineering*, Vol. 15, No. 3, pp. 231-238, 2015. (in Persian) (فارسی)
- N. N. Barthakur, Electrohydrodynamic enhancement of evaporation from NaCl solutions, *Desalination*, Vol. 78, No. 3, pp. 455-465, 1990.
- Y. Chen, N. N. Barthakur, Electrohydrodynamic (EHD) Drying of Potato slabs, *Journal of Food Engineering*, Vol. 23, No. 1, pp. 107-119, 1994.
- W. Coa, Y. Nishiyama, S. Koide, Electrohydrodynamic drying characteristics of wheat using high voltage electrostatic field, *Journal of Food Engineering*, Vol. 62, No. 3, pp. 209-213, 2004.

منحنی متناظر با ولتاژ اعمالی 24 کیلو ولت در مقایسه با ولتاژهای پایین‌تر به دلیل جریان ثانویه قوی و ایجاد مانع برای حرکت سیال روی جسم مرتبط می‌باشد.

9- نتیجه‌گیری

در این مطالعه، تاثیر پدیده الکتروهیدرودینامیک بر نرخ خشک‌کردن جسم مرتبط به صورت عددی مورد بررسی قرار گرفته است. هدف اصلی مطالعه میدان جریان و نرخ انتقال جرم یک جسم مرتبط تحت اثر میدان الکتریکی می‌باشد. همچنین تاثیر پارامترهایی همچون عدد رینولدز جریان سیال، ولتاژ اعمالی و موقعیت الکترود تزریق کننده بررسی شده است. مهمترین نتایج به دست آمده به صورت زیر می‌باشد.

- بدون حضور میدان الکتریکی، نرخ خشک کردن جسم مرتبط با افزایش عدد رینولدز بهبود می‌یابد.
- در یک عدد رینولدز مشخص، تاثیر پدیده الکتروهیدرودینامیک بر نرخ خشک کردن با افزایش ولتاژ اعمالی بهبود می‌یابد. به طوری که رطوبت جسم مرتبط پس از 14 ساعت برای ولتاژهای اعمالی 18, 21 و 24 کیلو ولت به ترتیب 5.2, 12.2 و 16.7 درصد نسبت به عدم حضور میدان الکتریکی کاهش یافته است.
- نرخ انتقال جرم از جسم مرتبط به طور چشمگیری به مکان الکترود تزریق کننده وابسته است. به طوری که در آرایشی که الکترود تزریق کننده در سمت چپ جسم مرتبط قرار گرفته است دارای بیشینه انتقال جرم می‌باشد.

10- فهرست عالیم

C	غلظت (kg/m^3)
C_p	گرمای ویژه ($J/kg K$)
C_{μ}, C_{2e}, C_{1e}	ثابت مدل کی-اپسیلون
D	ضریب پخش سیال (m^2/s)
D_m	ضریب پخش هم‌دمای (m^2/s)
D_t	ضریب پخش غیر هم‌دامای ($m^2/K s$)
E	شدت میدان الکتریکی (V/m)
E_0	مقدار پیک (V/m)
F_e	نیروی حجمی الکتروهیدرودینامیک (N/m^3)
h	ضریب انتقال جرم (m/s)
J	چگالی جریان الکتریکی (A/m)
k	انرژی جنبشی آشفتگی ($W/m K$)
K	ضریب هدایت حرارتی (J)
M	مقدار رطوبت ($kg/kg dry solid$)
n	راستای عمود بر سطح
Pr	عدد پرانتل
r	شعاع الکترود تزریق کننده (m)
Sc	عدد اشمتیت
Sh	عدد شروع
t	زمان (s)
T	دما (K)
u	مولفه سرعت (m/s)
u^*	سرعت اصطکاکی (m/s)

- 77, No. 1, pp. 76-87, 2015.
- [18] A. Castellanos, A. Ramos, A. González, N. G. Green, H. Morgan, Electrohydrodynamics and dielectrophoresis in microsystems: scaling laws, *Journal of Physics D: Applied Physics*, Vol. 36, No. 1, pp. 2584-2597, 2003.
- [19] S. S. Hoseininezhad, N. Amanifard, H. Mohaddes Deylami, F. Dolati, Numerical study of flow characteristics around a NACA 4412 asymmetric airfoil under the influence of electric field, *Modares Mechanical Engineering*, Vol. 14, No. 5, pp. 147-154, 2014. (in Persian) فارسی
- [20] J. H. Davidson, E. J. Shaughnessy, Turbulence generation by electric body forces, *Experiments in fluids*, Vol. 4, No. 1, pp. 17-26, 1986.
- [21] ANSYS, ANSYS Fluent/Mechanical 12.0 User's Guide & Theory Guide, ANSYS Inc, 2009.
- [22] S. L. Zhao, K. Adamiak, EHD flow in air produced by electric corona discharge in pin-plate configuration, *Journal of Electrostatics*, Vol. 63, No. 3-4, pp. 337-350, 2005.
- [23] K. Murugesan, H. N. Suresh, K. N. Seetharamu, P. A. A. Narayana, T. Sundararajan, A theoretical model of brick drying as a conjugate problem, *International Journal of Heat and Mass Transfer*, Vol. 44, No. 21, pp. 4075-4086, 2001.
- [24] N. Oussalah, Y. Zebboudj, Finite-element analysis of positive and negative corona discharge in wire-to-plane system, *The European Physical Journal Applied Physics*, Vol. 34, No. 3, pp. 215-223, 2006.
- [10] F. Li, L. Li, J. Sun, E. Tatsumi, Effect of electrohydrodynamic (EHD) technique on drying process and appearance of okara cake, *Journal of Food Engineering*, Vol. 77, No. 2, pp. 275-280, 2006.
- [11] J. Y. Liu, Drying of porous materials in a medium with variable potentials. *Journal of heat transfer*, Vol. 103, No. 3, pp. 757-762, 1991.
- [12] M. Eswaramurthy, P. Kandaswamy, Transient double-diffusive convection of water around 4° C in a porous cavity, *Journal of Heat Transfer*, Vol. 131, No. 5, pp. 1-7, 2009.
- [13] O. D. Makinde, P. Sibanda, Magnetohydrodynamic mixed-convective flow and heat and mass transfer past a vertical plate in a porous medium with constant wall suction. *Journal of Heat transfer*, Vol. 130, No. 11, pp. 1-8, 2008.
- [14] N. Amanifard, A. Khodaparast Haghi, A numerical study on drying of porous media, *Korean Journal of Chemical Engineering*, Vol. 25, No. 2, pp. 191-198, 2008.
- [15] A. Dinani, M. Havet, Effect of voltage and air flow velocity of combined convective-electrohydrodynamic drying system on the physical properties of mushroom slices, *Industrial Crops and Products*, Vol. 70, No. 1, pp. 417-426, 2015.
- [16] G. Heidarnejad, R. Babaei, Numerical investigation of the electric field effect on the flow field and enhancement of the water evaporation rate, *Modares Mechanical Engineering*, Vol. 16, No. 1, pp. 101-110, 2015. (in Persian) فارسی
- [17] G. Heidarnejad, R. Babaei, Numerical investigation of electro hydrodynamics (EHD) enhanced water evaporation using Large Eddy Simulation turbulent model, *Journal of Electrostatics*, Vol.